

УДК 547.1×1824×26; 547.1×1824 231.1

М.Я. Кузьменко, С.М. Кузьменко, О.В. Скрипник

СИНТЕЗ І ВЛАСТИВОСТІ [БУТОКСИ][2-(ДИМЕТИЛАМИНО)ЕТОКСИ]ТИТАНІВ ТА [БУТОКСИ][2-(ДИМЕТИЛАМИНО)ЕТОКСИ]ТИТАНОКСАНІВ

ДВНЗ «Український державний хіміко-технологічний університет», м. Дніпропетровськ

Наведені дані з синтезу і властивостей олігомерних [бутокси][2-(диметиламіно)етокси]титанів та [бутокси][2-(диметиламіно)етокси]титаноксанів з різною молекулярною масою і кількістю 2-(диметиламіно)етоксильних груп в молекулі. Їх структура підтверджена елементним аналізом, визначенням молекулярних мас, ІЧ-спектроскопією.

Алкоксисполуки титану широко застосовують у якості домішок до керамічних композицій, що суттєво знижує в'язкість композицій та спрощує виготовлення деталей з них [1]; при модифікації полімерів, наприклад, полівінілхлориду, для підвищення міцності та еластичності плівок або листів на його основі [2]; в складі композиційних полімерних матеріалів для збільшення міцності та зниження коефіцієнта тертя [3]; як добавку до консистентних змашуючих матеріалів, що дає можливість працювати їм під значно більшим тиском [4] та ін.

Не менш цікавими і корисними можуть бути сполуки, які у своїй структурі поряд з алкоксигрупами, сполученими з атомом титану, можуть мати також і 2-(діалкіламіно)алкоксигрупи, причому в різному, завчасно регульованому співвідношенні. З використанням таких сполук титану або титаноксанів з'являється можливість перейти до етапу одержання нових полімерних матеріалів з більш високими корисними властивостями як за рахунок реакційноздатних алкоксигруп, сполучених з атомом титану, так і за рахунок (діалкіламіно)алкоксильних груп.

Для реалізації цієї задачі був розроблений метод синтезу, виділені і вивчені властивості олігомерних продуктів, які одночасно мають у

структурі як алкокси-, так і (діалкіламіно)алкоксильні групи, що з'єднані з атомом титану.

У якості вихідної сировини використовували:

– тетрабутоксититан (ТБТ) $Ti(OC_4H_9)_4$, ТУ 6-09-2738-89, $n_D^{20}=1,4924$, $d_4^{20}=998 \text{ кг}/\text{м}^3$; мас.% ($-OC_4H_9$): розраховано 85,93, знайдено – 85,40 (країна-виробник Росія);

– 2-(диметиламіно)етанол (DMAE) $(CH_3)_2NCH_2CH_2OH$, ТУ 2423-004-78722668-2010, вміст основної речовини не менше – 99,3 мас.%, $n_D^{20}=1,4297$, $d_4^{20}=890 \text{ кг}/\text{м}^3$, вміст нітрогену: розраховано – 15,71 мас.%, знайдено – 15,50 мас.% (країна-виробник Росія).

У якості вихідних титаноксанів використовували продукти часткової гідролітичної конденсації ТБТ водою, які одержували згідно з методикою, наданої в [5]. Сумарну загальну формулу кожної з таких вихідних олігомерних сполук (табл. 1) розраховували згідно з методикою [6].

Синтезовані цільові продукти характеризували за допомогою елементного складу; визначення молекулярних мас з використанням прецизійного ебулюметра ЕП-68; ІЧ-спектрів, знятих на спектрометрі Specord 80; густини, визначеної пікнометричним способом; коефіцієнт рефракції встановлювали за допомогою рефрак-

Таблиця 1

Фізико-хімічні константи тетра(бутокси)титану та (бутокси)титаноксанів формулі $\left[\left(\text{H}_9\text{C}_4\text{O} \right) - \text{TiO}_{\frac{3-x}{2}} - (\text{OC}_4\text{H}_9)_x \right]_n$

| № | У середнена сумарна формула олігомеру | n_D^{20} | d_4^{20} , кг/м ³ | $-\text{OC}_4\text{H}_9$, мас. % | Грам-еквівалент | Молекулярна маса | T_i , мас. % | Коефіцієнти |
|---|--|------------|-----------------------------------|-----------------------------------|-----------------|------------------|----------------|--------------------------------|
| 1 | $(\text{H}_9\text{C}_4\text{O}) - \text{Ti} - (\text{OC}_4\text{H}_9)_3$ | 1,4924 | 998 | 85,93 | 85,08 | 85,22 | 340,34 | 346,4 14,07 14,05 3 1 |
| 2 | $(\text{H}_9\text{C}_4\text{O}) - \text{TiO}_{0,532} - (\text{OC}_4\text{H}_9)_{1,937} \text{ }_{2,545}$ | 1,5095 | 1062 | 79,20 | 79,18 | 92,32 | 690,02 | 690,0 17,66 14,63 1,937 2,545 |
| 3 | $(\text{H}_9\text{C}_4\text{O}) - \text{TiO}_{0,953} - (\text{OC}_4\text{H}_9)_{1,094} \text{ }_{3,631}$ | 1,5250 | 1084 | 70,81 | 70,80 | 103,26 | 785,13 | 785,1 22,14 22,12 1,094 3,631 |
| 4 | $(\text{H}_9\text{C}_4\text{O}) - \text{TiO}_{1,026} - (\text{OC}_4\text{H}_9)_{0,948} \text{ }_{4,136}$ | 1,5382 | 1125 | 68,90 | 68,88 | 106,12 | 855,00 | 855,0 23,16 23,10 0,948 4,136 |
| 5 | $(\text{H}_9\text{C}_4\text{O}) - \text{TiO}_{1,222} - (\text{OC}_4\text{H}_9)_{0,756} \text{ }_{5,432}$ | 1,5515 | 1140 | 66,11 | 66,10 | 110,60 | 1055,01 | 1055,0 24,65 24,61 0,756 5,432 |

Фізико-хімічні константи одержаних [бутокси][2-(диметиламіно)етокси]титанів формулі $(\text{H}_9\text{C}_4\text{O})_{\frac{x+1}{2}} - \text{TiO}_{\frac{3-x}{2}} - (\text{OCH}_2\text{CH}_2\text{N}(\text{CH}_3)_2)_{\frac{x+1}{2}}$ та етоокси]титаноксанів формулі $\left[\left(\text{OCH}_2\text{CH}_2\text{N}(\text{CH}_3)_2 \right) - \text{TiO}_{\frac{3-x}{2}} - (\text{OC}_4\text{H}_9)_x \right]_n$

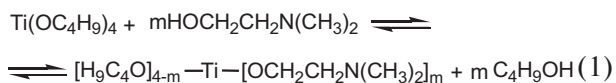
| № | Формула сполуки | Вихід , мас. % | n_D^{20} | d_4^{20} , кг/м ³ | T_i , мас. % | N, мас. % | Молекулярна маса | Γ -екв за $-\text{OC}_4\text{H}_9$ | Коефіцієнти |
|---|--|-------------------------|------------|-----------------------------------|----------------|-----------|---------------------|--|---------------------------|
| 1 | $(\text{H}_9\text{C}_4\text{O})_3 - \text{Ti} - \text{OCH}_2\text{CH}_2\text{N}(\text{CH}_3)_2$ | 96,7 | 1,4976 | 1030 | 13,49 | 13,47 | 3,94 | 3,90 | 355,35 364,0 118,45 1 – – |
| 2 | $(\text{H}_9\text{C}_4\text{O})_2 \text{Ti} - (\text{OCH}_2\text{CH}_2\text{N}(\text{CH}_3)_2)_2$ | 97,5 | 1,5124 | 1040 | 12,94 | 12,90 | 7,56 | 5,51 | 370,37 378,0 185,18 2 – – |
| 3 | $\text{H}_9\text{C}_4\text{OTi} - (\text{OCH}_2\text{CH}_2\text{N}(\text{CH}_3)_2)_3$ | 97,1 | 1,5165 | 1049 | 12,47 | 12,45 | 10,90 | 10,84 | 385,38 394,0 385,38 3 – – |
| 4 | $\text{Ti} - (\text{OCH}_2\text{CH}_2\text{N}(\text{CH}_3)_2)_4$ | 98,3 | 1,5195 | 1059 | 11,97 | 11,94 | 13,99 | 13,89 | 400,40 410,0 0 4 – – |
| 5 | $(\text{H}_9\text{C}_4\text{O})_{1,4685} - \text{TiO}_{0,532} - (\text{OCH}_2\text{CH}_2\text{N}(\text{CH}_3)_2)_{1,4685} \text{ }_{2,545} 95,7$ | 1,5190 | 1073 | 16,33 | 16,28 | 7,02 | 6,95 | 746,14 746,0 199,64 – | 1,937 2,545 |
| 6 | $(\text{H}_9\text{C}_4\text{O})_{1,047} - \text{TiO}_{0,953} - (\text{OCH}_2\text{CH}_2\text{N}(\text{CH}_3)_2)_{1,047} \text{ }_{3,361} 94,9$ | 1,5210 | 1103 | 20,64 | 20,58 | 6,32 | 6,20 | 779,58 780,0 221,54 – | 1,094 3,361 |
| 7 | $(\text{H}_9\text{C}_4\text{O})_{0,974} - \text{TiO}_{1,026} - (\text{OCH}_2\text{CH}_2\text{N}(\text{CH}_3)_2)_{0,974} \text{ }_{4,136} 95,3$ | $n_D^{50} = 1,5290$ | – | 21,52 | 21,45 | 6,13 | 6,04 | 920,21 920,0 228,43 – | 0,948 4,136 |
| 8 | $(\text{H}_9\text{C}_4\text{O})_{0,878} - \text{TiO}_{1,222} - (\text{OCH}_2\text{CH}_2\text{N}(\text{CH}_3)_2)_{0,878} \text{ }_{5,432} 92,4$ | $n_D^{50} = 1,5540$ | – | 22,91 | 22,84 | 5,88 | 5,81 | 1135,31 1135,0 238,04 – | 0,756 5,432 |

Примітка: * «o» — обчислений значення, «з» — знайдені значення

тометра ИРФ-22, вміст нітрогену – за методом Кье́льдаля [7].

Ідентифікацію смуг поглинання ІЧ-спектрів виконували згідно з [8–11]. Перед використанням DMAE обов'язково сушили від залишків вологи методом азеотропної відгонки з бензоловим.

На першому етапі реакцію переетерифікації ТБТ DMAE здійснювали за схемою:



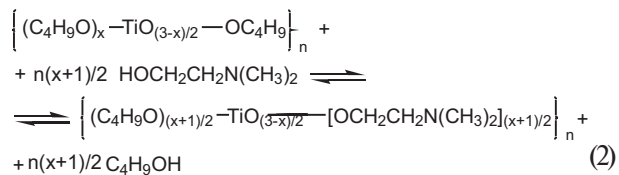
при різному їх мольному співвідношенні (від 1:1 до 1:4 моль/моль). У результаті були синтезовані і виділені відповідні [бутокси][2-(диметиламіно)етокси]титани з різним ступенем заміщення бутоксильних груп на 2-(диметиламіно)етоксильні. Реакція проходила відносно легко, в діапазоні температур реакційної суміші від 115 до 125°C і супроводжувалась практично кількісним виділенням побічного продукту реакції (бутанолу) на рівні не менше 90,0–95,0 мас.% від теоретичного.

Виділені [бутокси][2-(диметиламіно)етокси]титани є відносно в'язкими низькомолекулярними речовинами, які добре розчинні у ароматичних і хлорованих вуглеводнях, нижчих аліфатичних спиртах, кетонах.

Їх фізико-хімічні характеристики наведені у табл. 2.

Як бачимо з наданих даних (табл. 1 і 2), зі збільшенням в молекулі цільового продукту ступеня заміщення бутоксигруп на 2-(диметиламіно)етоксильні (сполуки № 1–4 табл. 2), незначним чином, проте монотонно і відносно рівномірно, зростає показник заломлення n_D^{20} з 1,4924 для сполуки ТБТ (сполука № 1, табл. 1), в структурі якої відсутні 2-(диметиламіно)етоксильні групи, до 1,5195 для тетра[2-(диметиламіно)етокси]титану (сполука № 4, табл. 2), в структурі якого вже повністю відсутні бутоксильні групи, які з'єднані з атомом титану. Даний факт підкреслює зростаючу упорядкованість молекул, обумовлену внутрішніми фізичними взаємодіями при заміні бутоксильного радикала на більш поляризований 2-(диметиламіно)етоксильний. Подібний висновок можна зробити, враховуючи і монотонне зростання в ряду, що розглядається, густини d_4^{20} з 998 кг/м³ для ТБТ (сполука № 1, табл. 1) до 1059 кг/м³ для тетра[2-(диметиламіно)етокси]титану (сполука № 4, табл. 2). Аналогічна закономірність спостерігається і при використанні в якості вихідної сировини продуктів часткової гідролітичної конденсації ТБТ водою при різному їх співвідношенні. Наприклад, якщо використати ці продукти і провести реакцію переетерифікації при заміні бутокси-

груп на 2-(диметиламіно)етоксильні в пропорції на 1 г.-екв. бутоксигруп титаноксану 0,5 г.-екв. DMAE, то, як наслідок цієї реакції, одержуємо сполуки, в яких кожна друга бутоксигрупа у структурі вихідного титаноксану буде замінена на 2-(диметиламіно)етоксильну:

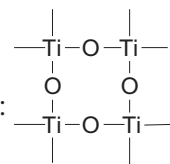
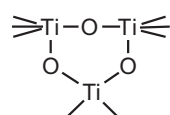


Якщо в цьому випадку розглянути фізико-хімічні властивості ряду одержаних сполук № 5–8 (табл. 2), в яких зберігається така пропорція, то можна прослідкувати вплив зростання величини титаноксанового блоку на зміну показника заломлення і густини.

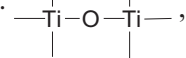
Як бачимо, в порівнянні зі сполуками № 1–4 (табл. 2) в сполуках № 5–8 характеристики n_D^{20} і d_4^{20} зростають більш стрімко. Наприклад, коефіцієнт рефракції змінюється з 1,5190 (сполука № 5, табл. 2) до 1,5540 (сполука № 8 табл. 2); густина зростає з 1073 кг/м³ (сполука № 5) до 1103 кг/м³ (сполука № 6), сполуки № 7 та № 8, у свою чергу, швидко кристалізуються під час охолодження після синтезу, та за кімнатної температури є твердими речовинами.

Причому, якщо розглянемо вихідну сировину, яку використовували в реакції переетерифікації (сполуки № 1–5 табл. 1), то, наприклад, сполука № 2 за молекулярною масою є приблизно димером ТБТ з молекулярною масою 690 а.од., і вона надає, в основному, сполуку типу $\geqslant\text{Ti--O--Ti}\leqslant$. І це, як бачимо, вже впливає на зростання внутрішньомолекулярної упорядкованості одержаних цільових продуктів (наприклад, зростання n_D^{20} від 1,5124 для сполуки № 2 до 1,5190 для сполуки № 5, табл. 2).

Якщо в реакції переетерифікації використовують в якості вихідної сировини більш високомолекулярні продукти гідролітичної конденсації ТБТ, у структурі яких поряд зі зв'язками $\geqslant\text{Ti--O--Ti}\leqslant$ також сформовані більш жорсткі структури типу внутрішньомолекулярноциклізованих:



або драбинчастих:



ї частка яких, із збільшенням молекулярної маси, зростає, то в кінцевому цільовому продукті чітко фіксується зростання різного виду взаємодій фізичного характеру. Ці взаємодії обумовлені присутністю вищеперелічених структур, що проявляється в різкому зростанні коефіцієнта заливлення цільових сполук і їх переходу від рідкого до твердого фізичного стану.

Причому, прояви зростання таких взаємодій фізичного характеру у структурі основного титаноксанового ланцюга цільових продуктів повинні проявитися і у полімерах, які будуть отримані на їх основі.

ІЧ-спектральні полоси поглинання виділених [бутокси] [2-(диметиламіно)етокси]титанів та [бутокси][2-(диметиламіно)етокси]титаноксанів, а також ТБТ, ДМАЕ і бутанолу в діапазоні 3600–700 см⁻¹ наведені в табл. 3, спектри деяких з них представлені на рис. 1.

Для всіх сполук (табл. 3), характерна смуга поглинання в діапазоні 3400–3300 см⁻¹ з максимумом 3335±16 см⁻¹, яка відповідає водневому зв'язку [8], що утворений за участі –ОН групи, з'єднаної з аліфатичним радикалом (бутанол, ДМАЕ) та безпосередньо з атомом титану (ТБТ, продукти 1–7 з табл. 2). Очевидно, що гідроксильні групи мають бути відсутні як в структурі ТБТ, так і в цільових продуктах. Проте –ОН групи можуть виникати у процесі підготовки зразків для зняття ІЧ-спектрів, адже алкоксититани, після нанесення їх тонким шаром на скляну пластинку, під дією вологи повітря зазнають гідролізу за схемою:



В свою чергу, подальше протікання реакції за схемами:



може приводити до зростання молекулярної маси за рахунок як реакції конденсації (4) так і за рахунок реакції переетерифікації (5). Це підтверджується кінетичним даними з втрати маси за рахунок випаровування продуктів гідролізу з тонкого шару плівки ТБТ, нанесеної на скляну пластинку і витриману на повітрі в ізотермічних умовах при температурі 11°C. Як бачимо (рис. 2), такі реакції проходять, починаючи з моменту нанесення плівки, і практично закінчуються через 1–2 доби.

Слід підкреслити, що наявність в ІЧ-спектрах ТБТ широкої смуги поглинання в області 3600–3200 см⁻¹ свідчить про перебіг реакцій за схемою 3.

Смуги поглинання 2928±13 см⁻¹ та 2847±

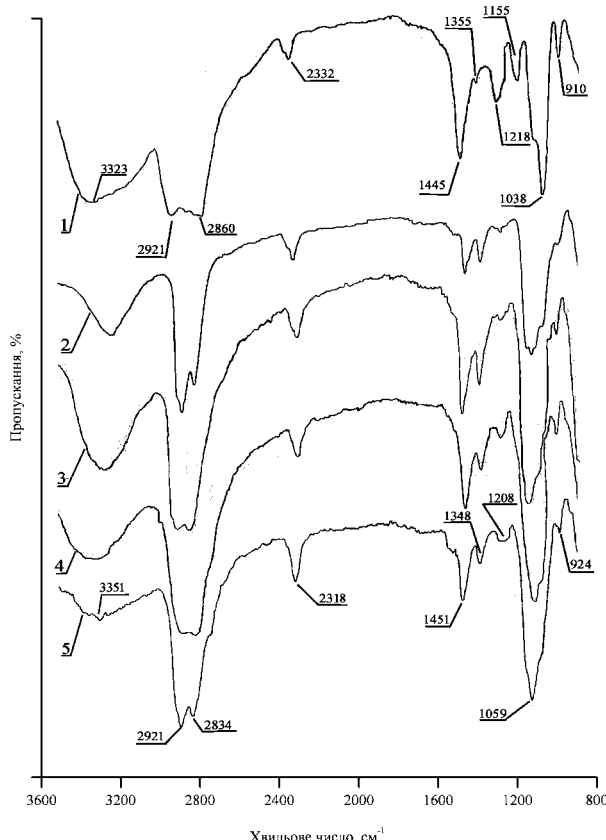


Рис. 1. ІЧ-спектри ТБТ, DMAE та продуктів 3, 5, 6 (табл. 2): 1 – DMAE; 2 – ТБТ; 3 – [(три)бутокси]-

[2-(диметиламіно)етокси]титан формули $(\text{H}_9\text{C}_4\text{O})_3-\text{Ti}-\text{OCH}_2\text{CH}_2\text{N}(\text{CH}_3)_2$; 4 – [бутокси]-

[2-(диметиламіно)етокси] титаноксан формули $(\text{H}_9\text{C}_4\text{O})_{1,4685}-\text{TiO}_{0,532}-(\text{OCH}_2\text{CH}_2\text{N}(\text{CH}_3)_2)_{1,4685}$

5 – [бутокси][2-(диметиламіно)етокси] титаноксан

формули $(\text{H}_9\text{C}_4\text{O})_{1,047}-\text{TiO}_{0,953}-(\text{OCH}_2\text{CH}_2\text{N}(\text{CH}_3)_2)_{1,047}$

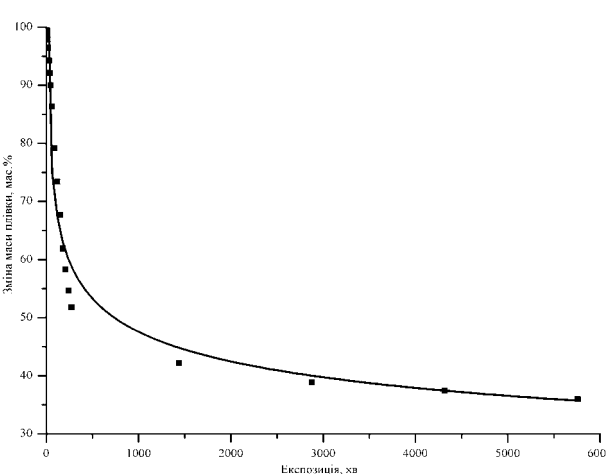


Рис. 2. Втрата маси плівки ТБТ під дією вологи повітря при температурі 11°C

20 см⁻¹ відповідають валентним коливанням –CH₂– та –CH₃ груп [9] і мають місце як у вихідному ТБТ і DMAE, так і в продуктах їх взаєм-

Таблиця 3

Смуги поглинання (см^{-1}) в
ІЧ-спектрах [бутокси][2-(диметиламіно)етокси]титанів та [бутокси][2-(диметиламіно)етокси]титаноксанів

| ТБТ | ДМАЕТ | Бутанол | Вихідні сполуки та продукти їх взаємодії* | | | | | | | Пояснення |
|------|-------|---------|---|------|------|------|------|------|------|--|
| | | | № 1 | № 2 | № 3 | № 4 | № 5 | № 6 | № 7 | |
| 3323 | 3323 | 3321 | 3326 | 3340 | 3319 | 3351 | 3333 | 3351 | 3334 | водневий зв'язок |
| 2934 | 2921 | 2934 | 2935 | 2924 | 2918 | 2941 | 2920 | 2921 | 2914 | $-\text{CH}_2-$ група |
| 2867 | 2860 | 2863 | 2834 | 2830 | 2830 | 2830 | 2827 | 2834 | 2835 | $-\text{CH}_3, \text{N}-\text{CH}_3$ групи |
| 2318 | 2332 | 2328 | 2327 | 2318 | 2316 | 2339 | 2320 | 2318 | 2316 | CO_2 |
| 1448 | 1445 | 1450 | 1453 | 1450 | 1430 | 1447 | 1438 | 1451 | 1447 | $-\text{CH}_2-, -\text{CH}_3$ та $\text{N}-\text{CH}_3$ групи |
| 1362 | 1355 | 1365 | 1357 | 1349 | 1360 | 1347 | 1351 | 1348 | 1362 | $\text{C}-\text{CH}_3, \text{C}-\text{OH}$ групи |
| — | 1218 | — | 1228 | 1203 | 1217 | 1234 | 1200 | 1208 | 1220 | аліфатична аміногрупа |
| — | 1155 | — | плече смуги з максимумом поглинання ~ 1055 | | | | | | | аліфатична аміногрупа |
| 1056 | 1038 | 1030 | 1068 | 1050 | 1037 | 1048 | 1053 | 1059 | 1055 | $\text{Ti}-\text{O}-\text{C}, \text{C}-\text{O}$ та $-\text{OH}$ групи |
| — | 910 | — | 943 | 946 | 933 | 931 | 930 | 924 | 920 | аліфатична аміногрупа |
| 775 | — | — | 780 | 770 | 777 | 771 | 785 | 770 | 778 | $\text{Ti}-\text{O}-\text{Ti}$ група |

Примітка: * – продукти під номерами 1–7 відповідають сполукам у табл. 2

модії.

На всіх спектрах присутня полоса поглинання середньої інтенсивності з максимумом $2327 \pm 16 \text{ cm}^{-1}$, яка не може бути віднесена до коливань будь-яких груп, що присутні як у вихідних сполуках, так і у продуктах їх взаємодії. Ймовірно, дана смуга виникла в результаті сорбції зразками речовин, що нанесені на скляні пластинки у вигляді плівки, вуглекислого газу з атмосфери, у процесі фіксації ІЧ-спектрів. Саме цим фактором пояснюється її поява у роботі [10].

Смуга поглинання у діапазоні 1453–1430 cm^{-1} відповідає деформаційним коливанням $-\text{CH}_3$ груп, які присутні в структурі усіх сполук. Слід відмітити, що інтенсивність цієї смуги зростає у ряду сполук №1–4 (табл. 2) та в ряду продуктів 2, 5–7, що може бути пов’язано з наявністю у складі зазначених речовин $-\text{N}(\text{CH}_3)_2$ груп, які мають аналогічний діапазон поглинання [8]. На всіх спектрах присутня смуга у діапазоні $1355 \pm 7 \text{ cm}^{-1}$, що відповідає коливанням $\text{C}=\text{O}-\text{H}$ та $\text{C}=\text{O}-\text{CH}_3$ груп [9].

Смуга поглинання у діапазоні 1228–1200 cm^{-1} присутня у ІЧ-спектрах ДМАЕ, [бутокси]-[2-(диметиламіно)етокси]титанів та [бутокси]-[2-(диметиламіно)етокси]титаноксанів і, вірогідно, пов’язана з наявністю аміногрупи у їх структурі [8]. ІЧ-спектр ДМЕА має максимум поглинання 1155 cm^{-1} , що, ймовірно, спричинений коливаннями аміногрупи [8]. Смугу поглинання у діапазоні 1068–1037 cm^{-1} згідно [11] відносять до зв’язку $\text{Ti}-\text{O}-\text{C}=\text{O}$ і в ряду 2, 5–7 (табл. 2) інтенсивність її суттєво зростає. Наявність цієї смуги у ІЧ-спектрах ДМЕА та бутанолу пояснюється валентними коливаннями $\text{C}=\text{O}-$ групи та деформаційними коливанням $-\text{OH}$ групи [8]. Крім того, у сполук №1–7 вона дещо ширша, ніж у ТБТ, за рахунок накладання смуги у діапазоні 1155 cm^{-1} .

Виникнення смуги у діапазоні 946–910, що відсутня у вихідному ТБТ та присутня у ДМЕА, а також у продуктах № 1–7, може бути пов’язано з коливаннями аміногрупи.

ІЧ-спектри ТБТ та продуктів його взаємодії з ДМЕА містять смугу поглинання з максимумом $778 \pm 8 \text{ cm}^{-1}$, причому у титаноксанах її інтенсивність значно більша, ніж у титанатах. Згідно [11] зазначена смуга відповідає групі $\text{Ti}-\text{O}-\text{Ti}$, а її виникнення може бути пояснено протіканням реакцій 4 і 5.

Таким чином, в результаті проведених досліджень:

– синтезовані і описані раніше невідомі [бутокси][2-(диметиламіно)етокси]титани та [бутокси][2-(диметиламіно)етокси]титаноксані з різним ступенем заміщення в їх структурі бутоксильних груп на 2-(диметиламіно)етоксильні;

– їх структура підтверджена елементним аналізом, визначенням молекулярних мас, ІЧ-спектрами;

– такі сполуки, в залежності від ступеня заміщення бутоксильних груп на 2-(диметиламіно)етоксильні та кількості титаноксанових блоків, можуть змінювати свій агрегатний стан від в’язких рідин до твердих продуктів, що добре розчинні в ароматичних та хлорованих вуглеводнях, нижчих аліфатичних спиртах, кетонах.

Наявність у одержаних сполуках одночасно реакційноздатних бутоксильних та 2-(диметиламіно)етоксильних груп робить їх перспективними для модифікації різноманітних полімерних матеріалів, до складу яких входять сполуки з рухомим атомом водню в структурі.

Експериментальна частина

Синтез ді[бутокси]ди[2-(диметиламіно)етокси]титану (сполука № 2, табл. 2)

У чотиригорлий реактор, обладнаний мішалкою, прямим холодильником, крапельною воронкою, термометром та трубкою для підводу інертного газу (азоту) завантажують 340,3 г (1 моль або 4 г-екв.) ТБТ і 178,3 г (2 моль або 2 г-екв.) ДМЕА. Суміш у реакторі нагрівають при інтенсивному перемішуванні. Відгін побічного продукту реакції переетерифікації спостерігається в діапазоні від 115 до 130°C. Після завершення виділення бутанолу реакцію припиняли. Кількість відігнаного бутилового спирту склала 134,90 г (тобто 92 мас.% від теоретичного).

Суміш охолоджували до 50°C і додавали 52 г (~10 мас.% вихідних сполук) толуолу, перемішували і нагрівали. При температурі 110°C спостерігався відгін азеотропу толуолу з залишками бутилового спирту. Потім реактор підключали до вакуум-насосу, та витримували при цій температурі і залишковому тиску 5–7 мм рт. ст. протягом 1 год, до припинення зміни показника заломлення.

У кубі отримували 361,1 г (97,5% від теоретичного) прозорої жовто-коричневого кольору рідини, яка за показниками відповідала сполучі 2, табл. 2.

Інші [бутокси][2-(диметиламіно)етокси]титани та [бутокси][2-(диметиламіно)етокси]титаноксані синтезували аналогічним чином.

СПИСОК ЛІТЕРАТУРИ

1. Пат. 4207226 США, МКИ2 С 08 L 61/06. Ceramic composition suited to be injection molded and sintered / Storm Roger S.(США); The Carborundum Co. – № 930635; Заявл. 03.08.78; Опубл. 10.06.80. – 6 с.
2. Заявка № 58-160338, Япония, МКИ3 С 08 L 27/06, С 08 К 3/18 Способ модификации поливинилхлорида / Ямамура Косё (Япония). – Заявл. 18.03.82. Опубл. 22.09.83. – 8 с.
3. А.с. 1597372 СССР, МКИ5 С 08 L 61/10; С 08 К 13/06. Композиционный прессматериал / Золотников И.И., Купчинов А.Б. и др. (СССР). – № 4403413/23-05; Заявл. 04.04.88; Опубл. 07.10.90, Бюл. № 37. – 3 с.
4. Пат. 6172012 США, МПК7 С 10 М 141/00. Titanium complex grease composition including performance additives and process for preparation thereof. / Kumar Anoop, Kanta Nagar S.C. (США); Indian Oil Corp. Ltd. – № 09/188283; Заявл. 09.11.1998; Опубл. 09.01.2001. – 7 с.
5. Кузьменко С.Н., Бурмистр М.В., Кузьменко Н.Я. Синтез и свойства продуктов гидролитической конденсации тетрабутоксититана // Вопр. химии и хим. технологии. – 2007. – № 1. – С.67-72.
6. Кузьменко Н.Я., Кузьменко С.Н., Скринник О.В. Метод расчета усредненной суммарной формулы продуктов гидролитической конденсации алcoxисоединений орто-титановой кислоты // Вопр. химии и хим. технологии. – 2013. – № 3. – С.74-77.
7. Крешков А.П. Практическое руководство по анали-

зу мономерных и полимерных кремнийорганических соединений // Количественный элементарный анализ. – М.: Госхимиздат, 1962. – С.288-289.

8. Беллами Л. Инфракрасные спектры сложных молекул: Пер. с англ. – М.: Изд-во иностр. лит., 1963 – 591 с.

9. Казиціна Л.А., Куплецкая Н.Б. Применение УФ-, ИК- и ЯМР-спектроскопии в органической химии: Учеб. пособие для вузов. – М.: Высш. школа, 1971 – 264 с.

10. Преч Э., Бльманн Ф., Аффольтер К. Определение строения органических соединений. Таблицы спектральных данных: Пер. с англ. – М.: Мир. БИНОМ. Лаборатория знаний, 2006. – 438 с.

11. Инфракрасные спектры некоторых титанорганических соединений / Семернева Г.А., Суворов А.Л., Самарина Л.А., Алексеева И.А., Спасский С.С. // Журн. прикл. спектроскопии. – 1965. – Т.3.– С.555-559.

Надійшла до редакції 23.12.2013

SYNTHESIS AND PROPERTIES [BUTOXY]-[2-(DIMETHYLAMINO)ETOXY]TITANIUM AND [BUTOXY][2-(DIMETHYLAMINO)ETOXY]TITANOXANES

*N.Ya. Kuzmenko, S.N. Kuzmenko, O.V. Skrynnik
Ukrainian State University of Chemical Technology,
Dnepropetrovsk, Ukraine*

Synthesis of [butoxy][2-(dimethylamino)ethoxy]titanium and [butoxy][2-(dimethylamino)ethoxy]titanoxanes through re-etherification tetrabutoxy titanium and titanoxanes by 2-(dimethylamino)-ethanol has been reported in this work. Their structures have been confirmed by elemental analysis, molecular mass determination, and infrared spectroscopy. These compounds are viscous liquids; they are very soluble in aromatic and chlorinated hydrocarbons, lower aliphatic alcohols, and ketones. The degree of substitution of butoxygroups with 2-(dimethylamino)ethoxygroups and content titanoxanes units effect the properties of compounds under consideration. The obtained results indicate that an increase in the degree of substitution of butoxygroups with 2-(dimethylamino)ethoxygroups leads to an increase in the molecules regularity. Similar effect on the properties of [butoxy][2-(dimethylamino)ethoxy]titanium and [butoxy][2-(dimethylamino)ethoxy]titanoxanes was also observed when increasing the amount of water used for the synthesis of titanoxanes. The presence of butoxygroups and 2-(dimethylamino)ethoxygroup in [butoxy][2-(dimethylamino)ethoxy]titanium and [butoxy][2-(dimethylamino)ethoxy]titanoxanes is very attractive and perspective for the modification of different composite polymers containing compounds with labile hydrogen atoms.

Keywords: tetrabutoxy titanium; titanoxanes; 2-(dimethylamino)ethanol; re-etherification; synthesis.

REFERENCE

1. Storm R.S., Ceramic composition suited to be injection molded and sintered. Patent US, no. 4207226, 1980.
2. Jamamuro K., Akira T.S., Sposob modifikacii polivinilchlorida [The method of polyvinylchloride modification]. Patent JP, no. 58-160338, 1983.
3. Zolotnikov I.I., Kupchinov A.B., Lisovskij V.V., Prityckaja T.S., Sosnovskij G.M., Stepanenko V.V., Kompozicionnyj pressmaterial [The composite press-material]. Patent USSR, no. 1597372, 1990.
4. Kumar A., Nagar S.C., Naithani K.P., Rai M.M., Bhatnagar A.K., Titanium complex grease composition including performance additives and process for preparation thereof. Patent US, no. 6172012, 2001.
5. Kuzmenko S.N., Burmistr M.V., Kuzmenko N.Ya.

Sintez i svoistva produktov gidroliticheskoi kondensatsii tetrabutoksititana [Synthesis and properties of the products of tetrabutoxy titanium hydrolytic condensation]. *Voprosy khimii i khimicheskoi tekhnologii*, 2007, no. 1, pp. 67-72. (in Russian).

6. Kuzmenko N.Ya., Kuzmenko S.N., Skrynnik O.V. Metod rascheta usrednennoi summarnoi formuly produktov hidroliticheskoi kondensatsii alkoksidoedinenii ortotitanovoii kislotoy [Calculation's method of an average summary formula of the hydrolytic condensation products of alkoxy compounds of titanic acid]. *Voprosy khimii i khimicheskoi tekhnologii*, 2013, no. 3, pp. 74-77. (in Russian).

7. Kreshkov A.P. *Prakticheskoe rukovodstvo po analizu monomernykh i polimernykh kremnijorganicheskikh soedinenij* [The manual on the analysis of monomeric and polymeric organosilicic compounds]. Goskhimizdat, Moscow, 1962. 544 p. (in Russian).

8. Bellami L., *Infrakrasnye spektry slozhnyh molekul* [The infra-red spectra of complex molecules]. Izdatel'stvo inostrannoi literatury, Moscow, 1963. 591 p. (in Russian).

9. Kazicina L.A., Kupleckaia N.B., *Primenenie UF-, IK- i JaMR-spektroskopii v organiceskoy khimii* [The application of UV, IR and NMR spectroscopy in organic chemistry]. Vysshaiia shkola, Moscow, 1971. 264 p. (in Russian).

10. Pretsch E., Bullmann P., Affolter C., *Opredelenie stroenii organiceskikh soedinenii. Tablitsy spektral'nyh dannyh* [Structure determination of organic compounds. Tables of spectral data]. Mir, Moscow, 2006. 438 p. (in Russian).

11. Semerneva G.A., Suvorov A.L., Samarina L.A., Alekseeva I.A., Spasskii S.S., *Infrakrasnye spektry nekotorykh titanorganicheskikh soedinenii* [The infra-red spectra of some titanooorganic compounds]. *Zhurnal prikladnoi spektroskopii*, 1965, vol. 3, pp. 555-559. (in Russian).